Mock Exam: Le modèle de Potts

December 19, 2024

Exercise 1 Le modèle de Potts

Le modèle de Potts est une généralisation du modèle d'Ising, utilisé pour décrire des systèmes physiques dans lesquels chaque site (ou spin) peut prendre q états possibles au lieu de seulement deux. Il est particulièrement utile pour étudier des transitions de phase dans des systèmes présentant une symétrie discrète d'ordre q. L'hamiltonien du modèle de Potts dans sa version complètement connectée est donné par :

$$\mathcal{H} = -\frac{J}{2N} \sum_{i,j=1}^{N} \delta(\sigma_i, \sigma_j) - \sum_{i} \sum_{\tau=1}^{q} h_{\tau} \delta(\sigma_i, \tau)$$
(1)

où $\sigma_i \in \{1, 2, ..., q\}$ représente l'état du spin i, $\delta(\sigma_i, \sigma_j)$ est le delta de Kronecker¹, et J > 0 est le paramètre d'interaction. Les h_{τ} sont des champs magnétiques externes dans la direction $\tau = 1, ..., q$. On travaillera dans le formalisme canonique a température $\beta = 1/k_bT$.

Q1. Montrez que:

a) La fraction de spins dans l'état τ , notée ρ_{τ} , est donnée par la dérivée de $\ln Z$ par rapport au champ magnétique:

$$\rho_{\tau} = \frac{\partial \ln Z}{\partial (\beta h_{\tau})} \tag{2}$$

b) L'énergie moyenne $\langle \mathcal{H} \rangle$ est donnée par:

$$\langle \mathcal{H} \rangle = -\frac{\partial \ln Z}{\partial \beta} \tag{3}$$

c) Pour q=2, montrez que l'hamiltonien se réduit à celui du modèle d'Ising à une constante près. Quelle est la relation entre la magnétisation du modèle d'Ising et les fractions ρ_{τ} du modèle de Potts?

$$\delta(\sigma_i, \sigma_j) = \begin{cases} 1 & \text{si } \sigma_i = \sigma_j \\ 0 & \text{sinon} \end{cases}$$

¹On rappelle que le delta de Kronecker est défini comme

 $\mathbf{Q2.}$ Dans l'approximation de champ moyen, chaque spin i perçoit un hamiltonien effectif:

$$\mathcal{H}_i = -J \sum_{\tau=1}^q \delta(\sigma_i, \tau) \rho_\tau - \sum_{\tau=1}^q h_\tau \delta(\sigma_i, \tau)$$
(4)

a) Montrez que les fractions ρ_{τ} satisfont l'équation auto-cohérente:

$$\rho_k = \frac{e^{\beta J \rho_k + \beta h_k}}{\sum_{\tau=1}^q e^{\beta J \rho_\tau + \beta h_\tau}} \tag{5}$$

b) Pour q=2 et $h_{\tau}=0$, montrez que la magnétisation $m=\rho_1-\rho_2$ satisfait l'équation classique du modèle d'Ising:

$$m = \tanh\left(\frac{\beta J}{2}m\right) \tag{6}$$

Q3. On rappelle l'inégalité fondamentale de la méthode variationnelle: pour toute distribution $Q(\{\sigma\})$,

$$\ln Z \ge -\beta \langle \mathcal{H} \rangle_Q + S(Q) \tag{7}$$

- où S(Q) est l'entropie de la distribution Q et $\langle \cdot \rangle_Q$ dénote la moyenne sur Q.
 - a) En utilisant une distribution d'essai factorisée $Q(\{\sigma\}) = \prod_i q(\sigma_i)$ avec $q(\sigma_i = \tau) = \rho_\tau$, montrez que:

$$\frac{1}{N} \ln Z \ge \beta \frac{J}{2} \sum_{\tau=1}^{q} \rho_{\tau}^{2} + \beta \sum_{\tau=1}^{q} h_{\tau} \rho_{\tau} - \sum_{\tau=1}^{q} \rho_{\tau} \ln \rho_{\tau}$$
 (8)

- b) En maximisant cette borne inférieure par rapport aux ρ_{τ} , retrouvez l'équation auto-cohérente de la question précédente.
- **Q4.** En l'absence de champs magnétiques externes $(h_{\tau} = 0)$, étudions la transition de phase.
 - a) Pourquoi est-il naturel de chercher une solution de la forme:

$$\rho_1 = \frac{1}{q} + \delta, \quad \rho_{\tau > 1} = \frac{1}{q} - \frac{\delta}{q - 1}$$
(9)

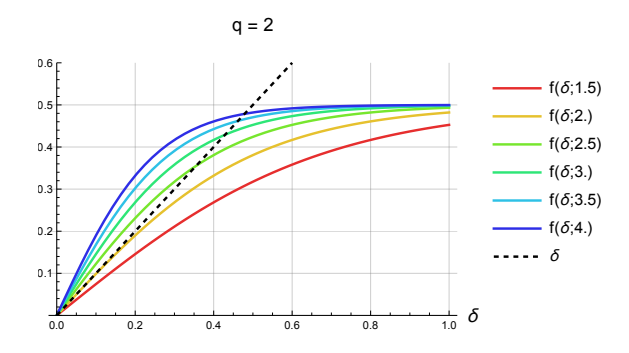
b) En linéarisant l'équation auto-cohérente autour de $\delta=0$, montrez qu'une solution non-triviale apparaît pour:

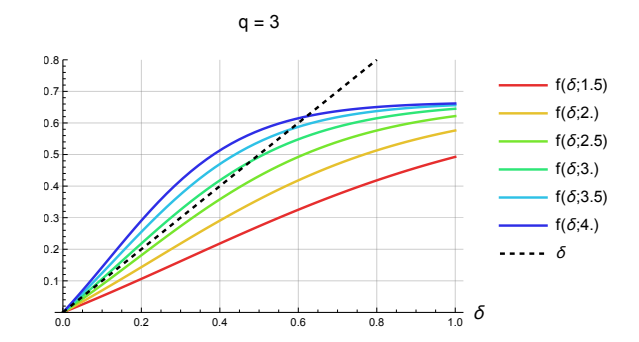
$$\beta_c J = q \tag{10}$$

Q5. Pour finir, nous allons vérifier numériquement que notre calcul donne le bon résultat. Pour cela nous allons regarder numériquement les solutions de l'équation:

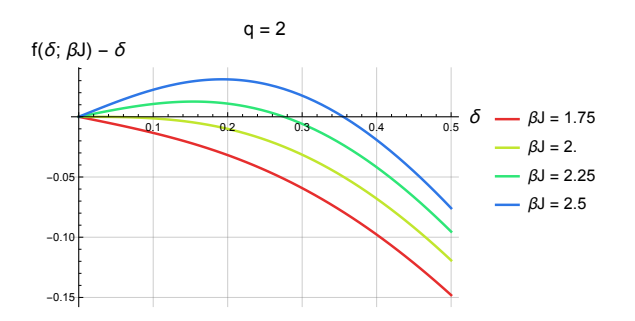
$$\delta = f(\delta; \beta J) := \frac{1}{1 + (q - 1)e^{-\beta J\delta \frac{q}{q - 1}}} - \frac{1}{q}$$

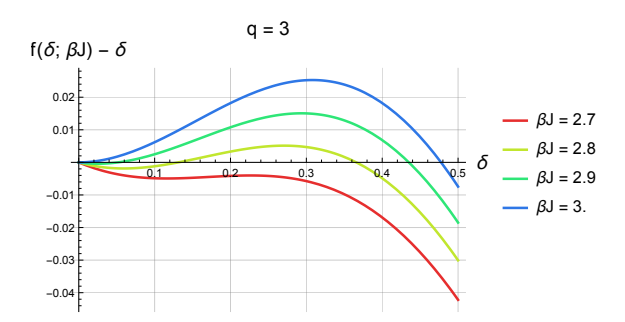
pour q = 3. Nous observons ce graphe:





et on peut aussi ploter la différence entre \boldsymbol{f}





- a) Observez le graphe de $f(\delta; \beta J)$ pour q=2. Est-ce que notre calcul pour la transition de phase donne la bonne valeur de T_c ?
- b) A q = 3, est-ce que notre calcul pour la transition de phase donne la bonne valeur de T_c ? Que se passe-t-il ici?

Solution of Exercise 1

Q1. a) Pour démontrer cette relation, partons de la fonction de partition dans l'ensemble canonique

$$Z = \sum_{\{\sigma\}} e^{-\beta \mathcal{H}} = \sum_{\{\sigma\}} \exp\left(\frac{\beta J}{2N} \sum_{i,j=1}^{N} \delta(\sigma_i, \sigma_j) + \beta \sum_{i} \sum_{\tau=1}^{q} h_{\tau} \delta(\sigma_i, \tau)\right)$$
(11)

pour commencer on peut voir le derivee que nous interesse

$$\frac{\partial \ln Z}{\partial \beta h_{\tau}} = \sum_{\{\sigma\}} \delta(\sigma_i, \tau) \frac{1}{Z} e^{\frac{\beta J}{2N} \sum_{i,j=1}^{N} \delta(\sigma_i, \sigma_j) + \beta \sum_i \sum_{\tau=1}^{q} h_{\tau} \delta(\sigma_i, \tau)}, \qquad (12)$$

$$\frac{\partial \ln Z}{\partial \beta} = \sum_{\{\sigma\}} \mathcal{H} \frac{1}{Z} e^{-\beta \mathcal{H}} \,, \tag{13}$$

La fraction de spins dans l'état τ est définie comme la moyenne termique de l'opérateur $\frac{1}{N} \sum_i \delta(\sigma_i, \tau)$ sur tous les sites. Parce que l'operateur compre le nombre de site que sont allinee avec τ . Donc on a que pour linearite de le valuer d'expectation

$$\rho_{\tau} = \frac{1}{N} \sum_{i} \langle \delta(\sigma_{i}, \tau) \rangle \tag{14}$$

En utilisant la définition de la moyenne thermique

$$\rho_{\tau} = \frac{1}{N} \sum_{i} \frac{1}{Z} \sum_{\{\sigma\}} \delta(\sigma_{i}, \tau) e^{-\beta \mathcal{H}} = \frac{1}{NZ} \frac{\partial}{\partial (\beta h_{\tau})} \sum_{\{\sigma\}} e^{-\beta \mathcal{H}} = \frac{1}{N} \frac{\partial \ln Z}{\partial (\beta h_{\tau})}$$
(15)

ou on reconnait la derivee deja computee.

b) Pour l'énergie moyenne, nous pouvons provedeer avec le meme raisonement. Nous utilisons la définition

$$\langle \mathcal{H} \rangle = \frac{1}{Z} \sum_{\{\sigma\}} \mathcal{H} e^{-\beta \mathcal{H}}$$
 (16)

En notant que

$$\frac{\partial}{\partial \beta} e^{-\beta \mathcal{H}} = -\mathcal{H} e^{-\beta \mathcal{H}} \tag{17}$$

nous pouvons écrire

$$\langle \mathcal{H} \rangle = -\frac{1}{Z} \sum_{\{\sigma\}} \frac{\partial}{\partial \beta} e^{-\beta \mathcal{H}} = -\frac{1}{Z} \frac{\partial}{\partial \beta} Z = -\frac{\partial \ln Z}{\partial \beta}$$
 (18)

c) Pour q=2, chaque spin peut prendre deux valeurs $\sigma_i \in \{1,2\}$. Définissons $s_i=2\delta(\sigma_i,1)-1$ qui prend les valeurs ± 1 comme dans le modèle d'Ising. Alors

$$\delta(\sigma_i, \sigma_j) = \frac{1}{2}(1 + s_i s_j), \quad \delta(\sigma_i, 1) = \frac{1}{2}(1 + s_i), \quad \delta(\sigma_i, 2) = \frac{1}{2}(1 - s_i)$$
(19)

En substituant dans l'hamiltonien

$$\mathcal{H} = -\frac{J}{2N} \sum_{i,j=1}^{N} \frac{1}{2} (1 + s_i s_j) - \sum_{i} \left(h_1 \frac{1 + s_i}{2} + h_2 \frac{1 - s_i}{2} \right)$$
 (20)

$$= -\frac{J}{4N} \sum_{i,j=1}^{N} s_i s_j - \frac{h_1 - h_2}{2} \sum_{i} s_i - \underbrace{\left(\frac{JN}{4} + \frac{h_1 + h_2}{2}N\right)}_{\text{const. en s}}$$
(21)

qui est bien la forme de l'hamiltonien d'Ising avec un couplage J/2 et un champ magnétique $(h_1 - h_2)/2$. La magnétisation du modèle d'Ising est reliée aux fractions ρ_{τ} par

$$m = \langle s_i \rangle = 2\rho_1 - 1 = 1 - 2\rho_2 \tag{22}$$

 $\mathbf{Q2}.$ a) Dans l'approximation de champ moyen, chaque spin est soumis au hamiltonien effectif

$$\mathcal{H}_i = -J \sum_{\tau=1}^q \delta(\sigma_i, \tau) \rho_\tau - \sum_{\tau=1}^q h_\tau \delta(\sigma_i, \tau)$$
 (23)

La probabilité d'avoir $\sigma_i = k$ est donnée par le facteur de Boltzmann

$$P(\sigma_i = k) = \frac{e^{-\beta \mathcal{H}_i|_{\sigma_i = k}}}{\sum_{\sigma=1}^q e^{-\beta \mathcal{H}_i|_{\sigma_i = \tau}}}$$
(24)

En substituant l'expression du hamiltonien effective

$$P(\sigma_i = k) = \frac{e^{\beta J \rho_k + \beta h_k}}{\sum_{\tau=1}^q e^{\beta J \rho_\tau + \beta h_\tau}}$$
 (25)

Par définition, ρ_k est la moyenne de $\delta(\sigma_i, k)$ sur tous les sites. Dans l'approximation de champ moyen, cette moyenne est égale à la probabilité que chaque spin soit dans l'état k, donc

$$\rho_k = P(\sigma_i = k) = \frac{e^{\beta J \rho_k + \beta h_k}}{\sum_{\tau=1}^q e^{\beta J \rho_\tau + \beta h_\tau}}$$
(26)

Cette équation est l'équation auto-cohérente recherchée.

b) Pour q=2 et $h_{\tau}=0$, nous avons deux équations couplées

$$\rho_1 = \frac{e^{\beta J \rho_1}}{e^{\beta J \rho_1} + e^{\beta J \rho_2}}$$

$$\rho_2 = \frac{e^{\beta J \rho_2}}{e^{\beta J \rho_1} + e^{\beta J \rho_2}}$$
(27)

$$\rho_2 = \frac{e^{\beta J \rho_2}}{e^{\beta J \rho_1} + e^{\beta J \rho_2}} \tag{28}$$

avec la contrainte $\rho_1 + \rho_2 = 1$. Définissons $m = \rho_1 - \rho_2$. Alors

$$\rho_1 = \frac{1+m}{2} \tag{29}$$

$$\rho_2 = \frac{1-m}{2} \tag{30}$$

En substituant dans l'équation pour ρ_1

$$\frac{1+m}{2} = \frac{e^{\beta J(1+m)/2}}{e^{\beta J(1+m)/2} + e^{\beta J(1-m)/2}} = \frac{1}{1+e^{-\beta Jm}} = \frac{1}{2}(1 + \tanh(\beta Jm/2))$$
(31)

Donc

$$m = \tanh(\beta J m) \tag{32}$$

qui est bien l'équation classique du modèle d'Ising en champ moyen.

Q3. a) Utilisons la distribution d'essai factorisée

$$Q(\{\sigma\}) = \prod_{i} q(\sigma_i) \quad \text{avec} \quad q(\sigma_i = \tau) = \rho_{\tau}$$
(33)

Calculons d'abord la moyenne de l'hamiltonien sur cette distribution

$$\langle \mathcal{H} \rangle_Q = -\frac{J}{2N} \sum_{i,j=1}^N \langle \delta(\sigma_i, \sigma_j) \rangle_Q - \sum_i \sum_{\tau=1}^q h_\tau \langle \delta(\sigma_i, \tau) \rangle_Q$$
 (34)

$$= -\frac{J}{2N} \sum_{i,j=1}^{N} \sum_{\tau=1}^{q} \rho_{\tau} \rho_{\tau} - \sum_{i} \sum_{\tau=1}^{q} h_{\tau} \rho_{\tau} = -\frac{JN}{2} \sum_{\tau=1}^{q} \rho_{\tau}^{2} - N \sum_{\tau=1}^{q} h_{\tau} \rho_{\tau}$$
(35)

L'entropie de la distribution Q est donne de la définition d'entropie d'une distribution

$$S(Q) = -\sum_{\{\sigma\}} Q(\{\sigma\}) \ln Q(\{\sigma\}) = -N \sum_{\tau=1}^{q} \rho_{\tau} \ln \rho_{\tau}$$
 (36)

En substituant dans l'inégalité variationnelle on obtiens directement le résultat cherche

$$\frac{1}{N} \ln Z \ge \beta \frac{J}{2} \sum_{\tau=1}^{q} \rho_{\tau}^{2} + \beta \sum_{\tau=1}^{q} h_{\tau} \rho_{\tau} - \sum_{\tau=1}^{q} \rho_{\tau} \ln \rho_{\tau}$$
(37)

b) Pour maximiser la borne inférieure, nous devons dériver par rapport à ρ_k en tenant compte de la contrainte $\sum_{\tau=1}^q \rho_{\tau} = 1$ via un multiplicateur de Lagrange λ

$$\frac{\partial}{\partial \rho_k} \left[\beta \frac{J}{2} \sum_{\tau=1}^q \rho_\tau^2 + \beta \sum_{\tau=1}^q h_\tau \rho_\tau - \sum_{\tau=1}^q \rho_\tau \ln \rho_\tau - \lambda \left(\sum_{\tau=1}^q \rho_\tau - 1 \right) \right] = 0 \tag{38}$$

Cette équation donne

$$\beta J \rho_k + \beta h_k - \ln \rho_k - 1 - \lambda = 0 \tag{39}$$

Donc

$$\rho_k = e^{\beta J \rho_k + \beta h_k - 1 - \lambda} \tag{40}$$

La constante de normalisation λ est déterminée par la condition $\sum_{\tau=1}^q \rho_\tau = 1$

$$e^{1+\lambda} = \sum_{\tau=1}^{q} e^{\beta J \rho_{\tau} + \beta h_{\tau}} \tag{41}$$

En substituant, on retrouve l'équation auto-cohérente de la question précédente

$$\rho_k = \frac{e^{\beta J \rho_k + \beta h_k}}{\sum_{\tau=1}^q e^{\beta J \rho_\tau + \beta h_\tau}} \tag{42}$$

Cette cohérence entre les approches variationnelle et de champ moyen n'est pas surprenante : l'approximation de champ moyen peut être vue comme la meilleure approximation factorisée au sens variationnel.

Q4. a) Sans champ magnétique externe, l'hamiltonien est symétrique sous les permutations des q états. À haute température ($\beta J \ll 1$), cette symétrie est respectée et tous les états sont également peuplés

$$\rho_{\tau} = \frac{1}{q} \quad \forall \tau \tag{43}$$

À basse température, cette symétrie peut être spontanément brisée avec un état devenant plus peuplé que les autres. Pour des raisons de symétrie, les q-1 états non favorisés doivent avoir la même population. En notant δ l'écart à l'équirépartition pour l'état favorisé (que nous choisissons arbitrairement comme étant l'état 1), la conservation de la probabilité totale impose

$$\sum_{\tau=1}^{q} \rho_{\tau} = \left(\frac{1}{q} + \delta\right) + (q - 1)\left(\frac{1}{q} - \frac{\delta}{q - 1}\right) = 1 \tag{44}$$

b) En substituant cette forme dans l'équation auto-cohérente pour ρ_1 sans champ magnétique

$$\frac{1}{q} + \delta = \frac{e^{\beta J(\frac{1}{q} + \delta)}}{e^{\beta J(\frac{1}{q} + \delta)} + (q - 1)e^{\beta J(\frac{1}{q} - \frac{\delta}{q - 1})}} = \frac{1}{1 + (q - 1)e^{-\beta J\delta\frac{q}{q - 1}}}$$
(45)

Pour δ petit, développons au premier ordre non trivial

$$e^{-\beta J\delta \frac{q}{q-1}} \approx 1 - \frac{\beta \delta Jq}{q-1} \tag{46}$$

En substituant et développant au premier ordre en δ

$$\frac{1}{q} + \delta \approx \frac{1}{q} + \frac{\beta J \delta}{q} \tag{47}$$

Donc on trouve que

$$\beta_c J = q \tag{48}$$

Q5. a) Les graphes montrent deux comportements qualitativement différents:

Pour q=2 (Ising). À haute température il n'y a qu'une solution $\delta=0$. À T_c (courbe rouge), la pente de $f(\delta)$ à $\delta=0$ devient exactement 1. En dessous de T_c , deux nouvelles solutions symétriques $\pm \delta$ apparaissent continûment, s'éloignant progressivement de 0. C'est caractéristique d'une transition du second ordre : le paramètre d'ordre δ croît continûment à partir de zéro à T_c

Pour q=3. À haute température, il n'y a qu'une solution $\delta=0$ comme pour q=2. À une température critique T_c , trois nouvelles solutions apparaissent discontinûment. La solution centrale devient instable (pente >1). Les solutions extérieures sont stables et correspondent à un saut discontinu du paramètre d'ordre. C'est caractéristique d'une transition du premier ordre : δ fait un saut fini à la temperature criticuqe T_c . Notez que cette temperature T_c est plus HAUTE que celle calculee precedement (ou, si vous preferez, β_c est plus petit)! Cette transition de premier ordre arrive AVANT qu'une transition continue, de second ordre, se produise.

Par conséquent, pour $q \geq 3$, notre estimation antérieure de T_c (qui supposait une transition continue) n'est plus correcte. Ainsi, dans le modèle de Potts en champ moyen, la transition discontinue intervient à une température supérieure à celle initialement prévue, modifiant sensiblement le scénario de la transition.